

NEWS

OF THE NATIONAL ACADEMY OF SCIENCES OF THE REPUBLIC OF KAZAKHSTAN

SERIES OF AGRICULTURAL SCIENCES

ISSN 2224-526X

Volume 3, Number 39 (2017), 47 – 51

Zh. Alipbayev, A. Tansykbayeva

Eurasian national university named after L. N. Gumilev, Astana, Kazakhstan

**THEORETICAL PRECONDITIONS
FOR IMPROVING THE PURIFICATION
OF FUELS IN DIESEL ENGINES**

Abstract. The article was considered the dehydration of the fuel coagulating porous walls. One of the promising methods of dehydration of fuels is filtration through a porous septum coagulating. The mechanism of dehydration of fuels coagulating partition has been analyzed in the following stages: the approach and contact of micro-water droplets with the fibers; the adhesion of micro-droplets of water to the fiber; the gap drops from the surface of the fibers.

Key words: the approach and contact of micro-water droplets with the fibers; the adhesion of micro-droplets of water to the fiber; the gap drops from the surface of the fibers.

ӘОЖ 656.136

Ж. Р. Алипбаев, Ә. С. Таңсықбаева

Л. Н. Гумилев атындағы Еуразия ұлттық университеті, Астана, Қазақстан

**ДИЗЕЛЬ ҚОЗҒАЛТҚЫШТАРЫНДА ОТЫНДЫ ТАЗАЛАУДЫҢ
ТИІМДІЛІГІН АРТТАРУДЫҢ ТЕОРИЯЛЫҚ АЛҒЫШАРТАРЫ**

Аннотация. Макалада дизель қозғалтқыштарында күйсты жабысқыш аражабындармен отынды сузыздандыру түрі қарастырылған. Отынды сузыздандырудың перспективалы әдістерінің бірі күйсты жабысқыш аражабын арқылы сүзгілеу болып табылады. Жабысқыш аражабындармен отынды сузыздандыру механизмінің келесі кезеңдерінде: су микротамшыларының талшықтармен жақындасуы және жанасуы; су микротамшыларының талшыққа қарай жабысуы; талшық бетінен тамшылардың сырғып ағуы бойынша теориялық талдаулар жүргізілді.

Түйін сөздер: су микротамшыларының талшықтармен жақындасуы және жанасуы; су микротамшыларының талшыққа қарай жабысуы, талшық бетінен тамшылардың сырғып ағуы.

Күйсты жабысқыш аражабындармен отынды сузыздандыру механизмі туралы қазіргі заманғы түсініктер. Қазіргі заманғы түсініктерге сәйкес жабысқыш аражабындармен отынды сузыздандыру механизмінің кезеңдерді енгізеді: су микротамшыларының талшықтармен жақындасуы және жанасуы; су микротамшыларының талшыққа қарай жабысуы; талшық бетінен тамшылардың сырғып ағуы [1].

Су микротамшыларының талшықтармен жақындасуы және жанасуы. Су микротамшыларының талшықтармен жақындасуының үш түрін және соңғы жанасуын: ұстап қалу (су микротамшыларының талшықтармен тікелей жанасуы), броундық диффузия және инерциялық қақтығысуы деп ажыратады.

Су микротамшыларын ұстап қалу тиімділігін мына формуланы пайдалана отырып бағалауға болады:

$$E_n = \frac{1}{2 * (2 - \ln \text{Re})} * \left[2 * (1 + K_n) * \ln(1 + K_n) + \frac{1}{1 + K_n} \right], \quad (1)$$

мұндағы $K_n = \frac{d_\kappa}{d_e}$ – ұстап қалу коэффициенті; d_e – талшық диаметрі, м; Re – Рейнольдс саны.

Рейнольдс санын мына формула бойынша анықтайды:

$$\text{Re} = \frac{\rho_m * d_e * V_n}{4 * \mu_m}, \quad (2)$$

мұндағы V_n – отын ағынының жылдамдығы, м/с.

(1) және (2) формулаларын талдау ұстап қалудың тиімділігі талшық пен тамшы диаметріне байланысты екендігін көрсетеді: талшық диаметрі аз болған сайын тамшы диаметрі үлкен, ұстап қалудың тиімділігі де соншалықты жоғары болады. Ағын жылдамдығы ұлғайған кезде ұстап қалу тиімділігі де ұлғаяды.

Су тамшыларының және талшықтың диффузиялық өзара әрекеттесу тиімділігін төменгі формула бойынша бағалауға болады:

$$E_\partial = 2,16 * \left[\frac{1}{2 * (2 - \ln \text{Re})} \right]^{\frac{1}{3}} * \frac{D}{V_n * d_e}, \quad (3)$$

мұндағы D – диффузия коэффициенті, m^2/c .

(3) формуладан көрініп түргандай, диффузия тиімділігі ағын жылдамдығының, тамшы және талшық диаметрінің жоғарылауымен азаяды.

Су тамшыларының талшықпен инерциялық қактығысу тиімділігі [4] формулабойынша анықталады:

$$E_u = \frac{K_u^3}{K_u^3 + 1,54 * K_u^2 + 1,76}, \quad (4)$$

мұндағы K_u – инерциялық күш коэффициенті.

Инерциялық күш коэффициентін мына формула бойынша есептеуға болады:

$$K_u = \frac{(\rho_e - \rho_m) * V_n * d_\kappa^2}{9 * \mu_m * d_e}. \quad (5)$$

(4) және (5) теңдеулерді талдау инерциялық қактығысу тиімділігі талшық диаметрі, отын тығыздығы мен динамикалық тұтқырлығы азайған кезде, сондай-ақ тамшы диаметрі мен ағын жылдамдығы ұлғайған кезде жоғарылайтынын көрсетеді. Инерциялық қактығысу тамшылар жақындаған кезде шамалы байқалады.

Су тамшыларының жеке талшықтармен өзара әрекеттесуінің тиімділігін қараша кезінде алынған жалпы заңдылықтар талшық қабаты үшін де жабысқыш аражабында орналасқан талшыққа су тамшылары жақындаған кезде жалпы тиімділігін бағалау өте құрделі болса да әділ, ейткені талшықтар онда ретсіз бытыранқы орналасқан. Жабысқыш аражабындағы талшықтың орналасу тығыздығының ұлғаюымен ұстап қалу тиімділігі мен диффузия ұлғаятынын атап өту керек, себебі ұстап қалу үшін бұл ұлғаю диффузияға қарағанда үлкен дәрежеде байқалады. Су тамшыларының талшықтармен өзара әрекеттесуінің барлық түрлерінің тиімділігі температура азайған кезде азаяды. Әсіресе инерциялық қактығысу тиімділігі азаяды, ейткені инерциялық күштер коэффициенті су мен отын тығыздығына тікелей пропорционалды және керісінше отын тұтқырлығына пропорционалды өзгереді.

Диффузияның температурага байланысты тиімділігі неғұрлым құрделі, ейткені диффузия коэффициенті абсолютті температурадан тікелей тәуелділіктегі болады және отын тұтқырлығы мен Рейнольдс санынан кері тәуелділіктегі болады.

Осылайша, ұстап қалу су тамшыларының талшықтарға жақындаған және жанасқан кезде жағынан көрініп табылады. Бұл процесте инерциялық қактығысу маңызды рөлге ие емес, ал диффузия [1] судың өте ұсақ тамшыларының талшықпен жанасуына мүмкіндік туғызады.

Су тамшыларының талшық бетіне жабысуы. Талшық бетінен отын қабыршағын ығыстырудан кейін су тамшысының оның бетіне жабысу процесі басталады. Су тамшыларының жабысқышаражабындағы талшық бетіне жабысуыңш фазага бөлу бетінде еркін энергияны азайту есебінен орын алады.

Су тамшыларының үстінгі бетке жабысуына әр түрлі факторлардың әсерін белгілеу үшін әдетте бұл процесті жазық, сфералық және цилиндрлік беттерде қарастырады [1].

Үш фазалы жүйеде еркін беттік энергия сұйықтық пен қатты беттің жазықтығы арасындағы бөлінген шекарада тепе-тендік жағдайда тең:

$$F = \sigma * S, \quad (6)$$

мұндағы σ – сұйықтықтың беттік керілуі, Н/м; S – сұйықтық пен қатты беттің жанасу ауданы, м².

Судағы сфералық тамшы жанасқаннан кейін жазық қатты бетте ағып кетеді және θ шеткі бұрышымен тепе-тендік жағдайға қол жеткізеді.

Бұл ретте [2] ара қатысы:

$$\sigma_{n-m} - \sigma_{n-b} = \sigma_{e-m} * \theta, \quad (7)$$

мұндағы σ_{n-m} , σ_{n-b} , σ_{e-m} – фаза аралық керілуі, соған сәйкес «беті – отын», «беті – су» және «су – отын» бөлінген шекарада.

(6) формула негізінде еркін беттік энергия бөлу бетінде:

- жабысқанға дейін (адрезияға):

$$F_0 = \sigma_{e-m} * S_0 + \sigma_{n-m} * S_{n-b}; \quad (8)$$

- жабысқаннан кейін (адрезиядан):

$$F = \sigma_{e-m} * S_{e-m} + \sigma_{n-m} * S_{n-b}. \quad (9)$$

Су тамшыларының үстінгі бетке жабысу нәтижесінде еркін энергияның азайғанын мына өрнектен анықтауға болады:

$$-\frac{\Delta F}{\sigma_{e-m} * S_0} = 1 - \frac{1}{2} * \left[2 * (1 - \cos \theta)^2 * (2 + \cos \theta) \right]^{\frac{1}{3}}; \quad (10)$$

$$\frac{S_{e-m}}{S_0} = \left[\frac{2}{(1 - \cos \theta)^2 * (2 + \cos \theta)^2} \right]^{\frac{1}{3}}, \quad (11)$$

мұндағы $-\frac{\Delta F}{\sigma_{e-m} * S_0}, \frac{S_{e-m}}{S_0}$ – соған сәйкес еркін беттік энергияның салыстырмалы азаюы және

0°-тан 180°-қа шеткі бұрыштары үшін үстінгі бетке су тамшыларының жабысуы салдарынан отын мен су тамшылары арасындағы бөлу бетінің салыстырмалы өзгеруі.

Осылайша, (10) және (11) өрнектерден су тамшыларының жазық қатты бетке жабысуы осы беттің қасиеттерімен, яғни шеткі бұрыштың шамасымен анықталады.

(1) формула әділ және су тамшылары сфералық бетке жабысқан жағдайда белгіленген. б-суретте θ шеткі бұрышпен қатты сфералық беттегі тамшылардың тепе-тендік жағдайы көрсетілген [3].

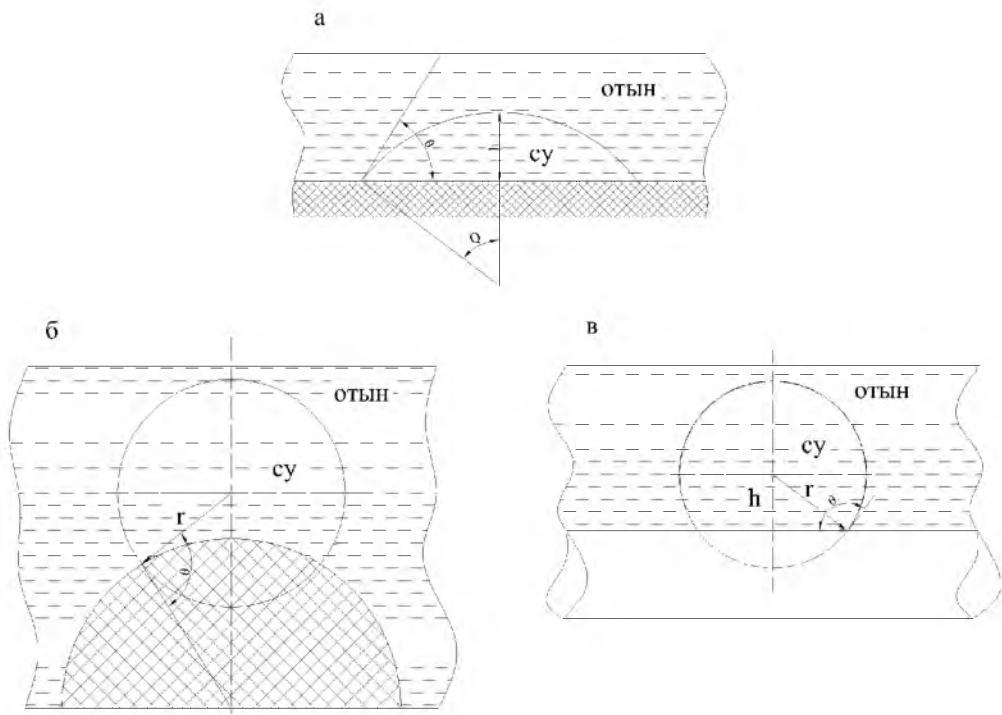
Сфералық бет үшін теңдеу мына түрде болады:

$$-\frac{\Delta F}{\sigma_{e-m} * S_0} = \frac{1 - r * (2 * r - y) - R * x * \cos \theta}{2r_0^2}; \quad (12)$$

$$\frac{S_{e-m}}{S_0} = \frac{r * (2 * r - y)}{2 * r_0^2}, \quad (13)$$

мұндағы r_0 – тамшылардың салыстырмалы радиусы, м.

Сондықтан, сфералық бетке су тамшыларының жабысуы (адрезия) тамшылар диаметрінің азаюымен және шеткі бұрыштың үлғаюымен азаяды. Сфералық бетте еркін беттік энергияның салыстырмалы азаюы жазық бетке қарағанда сфералық бетке су тамшыларының жабысуы (адрезия) кезінде аз байқалады.



Үстіңгі беттегі тамшылардың тепе-тең жағдайы: а – жазық беті; б – сфералық беті; в – цилиндрлік беті

Цилиндрлік бетке су тамшыларының жабысусы кезінде (в-сурет) еркін беттік энергияның салыстырмалы азауы жазық және сфералық беттер үшін көрсеткіштер арасында болатын аралық мәндерінде болады [1].

Осылайша, жабысу (адгезия) процесіне жүргізілген талдаудан көрінгендей:

- су тамшыларының талшыктармен жабысу тиімділігі оның беттік қасиеттерімен (θ бұрышымен) және диаметрімен, сондай-ақ су тамшыларының өлшемдерімен анықталады;
- талшық диаметрі аз болған сайын тамшылардың өлшемдері де үлкенірек, талшық бетіне тамшылардың жабысусы да жылдамырақ жүреді.

Сондықтан, су бөлгіш-сұзғы үшін жабыскыш элементтерді өзірлеу кезінде талшыктардың беттік қасиеттерін ескеру қажет, өйткені оларды дұрыс іріктеуден көбінесе талшықты қабатқа су микротамшыларының жабысусы процесі және коалисценция тиімділігі байланысты болады.

Талшық бетінен су тамшыларының сырғып түсін қалуды. Тамшылар белгілі бір сындарлы өлшемдерге жеткен кезде ағынның ғидродинамикалық күшінің және меншікті массасының әсерінен талшық бетінен сырғып түсіп қалады, қысы тамшықты қабаттан тұндырығыш аймаққа шығарылады, жылдамдықтың күрт азауы және ағын бағытының өзгеруі салдарынан тұндырығышқа тұнады.

Ағынның сындарлы жылдамдығы (V_{kp}), қысым айырымы (ΔP_{kp}) және тамшылардың көлемі (U_{kp}), сол кезде тамшылар талшықтан сырғып түсіп қалады, оны мына формулалар бойынша анықтауга болады:

$$V_{kp} = \frac{K_n}{\mu * S_n * L} \sqrt{l^2 * (\sigma_e - \sigma_m + \sigma_{e-m} * \cos\theta)^2 - U^2 * g^2 * (\rho_e - \rho_m)^2}; \quad (14)$$

$$U_{kp} = \frac{1}{K_n * (\rho_m - \rho_e) * g} \sqrt{l^2 * (\sigma_e - \sigma_m + \sigma_{e-m} * \cos\theta * K_n)^2 - V^2 * \mu^2 * S_n^2 * L^2}; \quad (15)$$

$$\Delta P_{kp} = \frac{1}{S_n} \sqrt{l^2 * (\sigma_e - \sigma_m + \sigma_{e-m} * \cos\theta)^2 - U^2 * g^2 * (\rho_e - \rho_m)^2}, \quad (16)$$

Мұндағы K_n – өткізгіштік коэффициенті, m^2 ; U – тамшы көлемі, m^3 ; S_n – қуыстының көлденен қимасы, m^2 ; – талшық бетімен тамшылардың жанасу периметрі, м.

Тендеулерді (14–16) талдау тамшылардың талышықпен жанасу периметрінің ұлғаюымен аталаған көрсеткіштер ұлғаятынын көрсетеді.

Сондыктан, тамшылардың талышық бетінен сырғып түсіп қалу қүшін азайту үшін жабысқыш аражабын үшін талышықты дұрыс таңдау маңызды орын алады.

ӘДЕБІЕТ

- [1] Рыбаков К.В., Жулдыбин Е.Н., Коваленко В.П. Обезвоживание авиационных горюче-смазочных материалов. – М.: Транспорт, 1979. – 184 с.
- [2] Рыбаков К.В., Жулдыбин Е.Н. Приборы для определения содержания свободной воды и механических примесей в нефтепродуктах. – М.: ЦНИИТЭнефтехим, 1968. – 50 с.
- [3] Lawson G.B. Coalescence process // Chem. Process Eng. – 1967. Vol. 48, N 5. P. 45.
- [4] Osipow L.J. Surface chemistry. American chemistry society monograph serie. Renhold publishing corporation. – New-York, 1962. – 481 р.
- [5] Семерин А.Н., Аширов Ф.А., Мирошинченко В.В. Анализ системочистки топлива: Аналитический бзор. – Тараз: Жамбылский ЦНТИ, 2007. – 20 с.

REFERENCES

- [1] Rybakov K.V., Zhuldybin E.N., Kovalenko V.P. Dehydration of aviation fuel and lubricants. M.: Transport, 1979. 184 p.
- [2] Rybakov K.V., Zhuldybin E.N. Instruments for determining the content of free water and mechanical impurities in petroleum products. M.: TsNIITE petrokhim, 1968. 50 p.
- [3] Lawson G.B. Coalescence process // Chem. Process Eng. 1967. Vol. 48, N 5. P. 45.
- [4] Osipow L.J. Surface chemistry. American chemistry society monograph serie. Renhold publishing corporation. New York, 1962. 481 p.
- [5] Semerin A.N., Ashirov F.A., Miroshnichenko V.V. Analysis of fuel cleaning systems: Analytical review. Taraz: Zhambyl CSTI, 2007. 20 p.

Ж. Р. Алипбаев, Э. С. Таңсықбаева

Евразийский национальный университет им. Л. Н. Гумилева, Астана, Казахстан

ТЕОРЕТИЧЕСКИЕ ПРЕДПОСЫЛКИ ПОВЫШЕНИЯ ЭФФЕКТИВНОСТИ ОЧИСТКИ ТОПЛИВ В ДИЗЕЛЬНЫХ ДВИГАТЕЛЯХ

Аннотация. В статье рассмотрены обезвоживания топлив пористыми коагулирующими перегородками. Одним из перспективных методов обезвоживания топлив является фильтрация через пористую коагулирующую перегородку. В механизме обезвоживания топлив коагулирующей перегородкой был произведен анализ в следующих этапах: приближение и соприкосновение микрокапель воды с волокнами; адгезию микрокапли воды к волокну; отрыв капли с поверхности волокна.

Ключевые слова: приближение и соприкосновение микрокапель воды с волокнами; адгезию микрокапли воды к волокну; отрыв капли с поверхности волокна.